

# Platiranje konstrukcijskih jekel z navarjanjem

## Cladding of the Structural Steels by Surfacing

R. Kejžar, ZRMK Ljubljana

Pri varjenju z legiranimi aglomeriranimi varilnimi praški je sestava čistega vara močno odvisna od varilnih parametrov. Ob upoštevanju oksidacijsko redukcijskih procesov med varjenjem, vpliva na sestavo čistega vara le razmerje med težo odtaljene varilne žice in težo kovin, ki pridejo v navar iz legiranega aglomeriranega varielnega praška.

S pravilno izbiro sestave varilne žice in legiranega aglomeriranega praška ter postavitvijo ustreznih varilnih parametrov glede na temperaturo predgrevanja, kar odločilno vpliva tako na izkoristek varjenja, kot tudi na taljenje osmote (% uvara), lahko dobimo izbrano sestavo in kvaliteto enoslojne močno legirane prevleke na izbranem nelegiranem ali malolegiranem jeklu.

Z legiranimi aglomeriranimi varilnimi praški je priporočljivo navarjati z nizko jakostjo varihnega toka (450A, 35V), kar zagotavlja razmeroma malo taljenja osnovnega materiala ter minimalno odgorevanje legirnih elementov.

**Ključne besede:** navarjanje pod praškom, aglomerirani praški, legiranje navara, oksidacijsko - redukcijski procesi, odgor legirnih elementov.

In welding with alloyed agglomerated welding fluxes, compositions of the deposited metal depend strongly on welding parameters. Taking into consideration oxidation-reduction processes during welding, the composition of the deposited metal is influenced only by the ratio between the weight of the welding wire burnt-off and the weight of the metals introduced into the surfacing from an alloyed agglomerated welding flux.

With a correct choice of the compositions of the welding wire and the alloyed agglomerated flux as well as with a correct choice of suitable welding parameters as regards preheating temperature which has a decisive influence on the welding efficiency as well as on the melting of the parent metal (% of penetration), a chosen composition and quality of one-layer surfaced high-alloyed cladding on a chosen unalloyed or low-alloy steel can be obtained.

In case of the alloyed agglomerated welding fluxes, it is advisable to carry out surfacing with low welding current intensity (450 A, 35 V) which assures relatively weak melting of the parent metal and a minimum burn-off of alloying elements.

**Key words:** surfacing in submerged arc welding, agglomerated fluxes, alloying of the surfacing, oxidation - reduction processes, burn-off of alloying elements.

### 1 Uvod

Postopki navarjanja omogočajo, da izdelamo iz posebnih korozjsko ali obrabno odpornih jekel in zlitin le tiste obremenjene ploskve in robove, ki se med obratovanjem obrabljujejo zaradi kemičnih, mehanskih in topotnih obremenitev. Ker je delež navara v primerjavi s celotno napravo, strojnim elementom ali orodjem večinoma majhen (pogosto pod 10%),

je ekonomično, da navarimo najkvalitetnejše obrabno odporne zlitine.

Močno taljenje osnovnega materiala je pomanjkljivost večine obložnih in še posebno polautomatskih in avtomatskih postopkov navarjanja. Zaradi mešanja navara z osnovnim materialom moramo zelo pogosto navarjati večslojno (**tabela 1**).

**Tabela 1:** Ocena razredčenja navarjenih slojev na konstrukcijsko jeklo zaradi taljenja osnovnega materiala

Postopek navarjanja	TIG	RO	MIG	EPP-1	EPP-3
Produktivnost (kg/h)	0,3-1,0	0,5-2,5	1,5-6,0	3,0-20,0	
% uvara	10-30	20-40	20-50	20-80	
Koeficient mešanja "K"	0,2	0,3	0,4	0,5	0,3
% odstopanja*					
- 1 sloj	20,0	30,0	40,0	50,0	30,0
- 2 sloj	4,0	9,0	16,0	25,0	9,0
- 3 sloj	0,8	2,7	6,4	12,5	2,7
- 4 sloj	0,2	0,8	2,6	6,3	0,8

\* Odstopanje od sestave čistega varu

Vpliv razredčenja navara z raztaljenim osnovnim materialom računamo po naslednjih enačbah:

$$\% Me_n = \% Me_{\text{čv}} - K^n (\% Me_{\text{čv}} - \% Me_{OM})$$

$$\% \text{odstopanja} = \frac{\% Me_{\text{čv}} - \% Me_n}{\% Me_{\text{čv}}} \times 100 = K^n \left( 1 - \frac{\% Me_{OM}}{\% Me_{\text{čv}}} \right)$$

$$\% \text{odstopanja} = K^n \times 100$$

Legenda oznak:

%  $Me_n$ , %  $Me_{\text{čv}}$  in %  $Me_{OM}$  - vsebnosti elementov v navaru "sloju n", čistem varu in osnovnem materialu

K - koeficient mešanja (delež uvara v celotnem varu);

$$K = \frac{\text{uvare}}{\text{uvare} + \text{navar}},$$

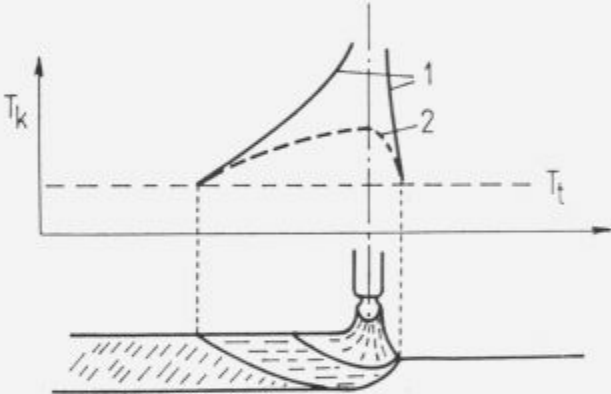
n - število navarjenih slojev

Taljenje osnovnega materiala, ki je posebno izrazito pri navarjanju pod praškom, zelo učinkovito zmanjšamo z uvajanjem dodajnih materialov (kovin in kovinskih zlitin) v kopel in obliko - tako preprečimo oz. zmanjšamo neposredni vpliv obloka na varjenec (slika 1).

Varjenje po TIG - postopku z dodajnim materialom je klasičen primer, kako z dodajanjem varilne žice hladimo varilno kopel in zmanjšujemo taljenje osnovnega materiala. Podoben učinek dosežemo tudi pri varjenju z visokoproduktivnimi elektrodami ter visokoproduktivnimi in legiranimi varilnimi praški, ki vsebujejo večje količine kovin in kovinskih zlitin v elektrodnih oblogah, oz. varilnem prašku<sup>1-5</sup>.

## 2 Legiranje navara pri varjenju pod legirnimi varilnimi praški

Navarjanje pod legiranimi aglomeriranimi varilnimi praški omogoči, da že enoslojno dobimo željeno sestavo navarjenega sloja tudi kadar navarjam na konstrukcijsko jeklo. Razredčenje navara, ki ga povzroči taljenje osnovnega materiala, ter odgorevanje legirnih elementov moramo nadomestiti z legiranjem navara preko legiranega aglomeriranega varilnega praška<sup>6-9</sup>.



**Slika 1:** Razporeditev temperature v kopeli varu  
1 - neposredni vpliv oblaka na taljenje osnovne

2 - posredni vpliv oblaka na taljenje osnovne

$T_k$  - temperaturo kopeli varu

$T_t$  - temperaturo taljenja

**Figure 1:** Temperature distribution in the weld pool

1 - direct effect of the arc on the basis melting

2 - indirect effect of the arc on the basis melting

$T_k$  - temperature of the weld pool

$T_t$  - melting temperature

Potek procesov legiranja varu smo ugotovljali pri varjenju pod taljenima praškoma EP10 in EP50 (proizvajalec Železarna Jesenice) ter aglomeriranimi praškoma 100SM in BM2 (v razvoju ZRMK Ljubljana).

Podatki o izbranih varilnih praških in pogojih varjenja so podani v tabelah 2, 3 in 4.

Različni parametri varjenja pod taljenima praškoma EP10 in EP50 ter nelegiranim aglomeriranim praškom 100 SM ne vplivajo bistveno na sestavo čistega varu in varilne žindre. Povsem drugače pa je pri varjenju pod močno legiranim aglomeriranim praškom BM2, kjer so parametri varjenja odločilnega pomena za sestavo čistega varu in varilne žindre (tabeli 5 in 6<sup>9-11</sup>).

**Tabela 2:** Vsebnost nekaterih oksidov v izbranih taljenih in aglomeriranih varilnih praških

Varilni prašek	SiO <sub>2</sub> %	FeO %	MnO %	Cr <sub>2</sub> O <sub>3</sub> %	V <sub>2</sub> O <sub>3</sub> %	MoO <sub>2</sub> %	WO <sub>2</sub> %
EP10	40	-	35	-	-	-	-
EP50	50	-	-	-	-	-	-
100SM	30	0,9	0,3	-	-	-	-
BM2	20	0,7	-	0,6	0,2	0,5	0,3

**Tabela 3:** Vsebnosti kovin v izbranih aglomeriranih varilnih praških

Varilni prašek	Si %	Ca %	Mn %	Cr %	V %	Mo %	W %	C %	Fe %
100SM	1,1	0,2	1,6	-	-	-	-	-	1,5
BM2	-	-	-	8,1	3,4	8,9	10,2	1,2	12,9

**Tabela 4:** Varilnotehnični podatki za varjenje z varilno žico EPP2 (0,11 %C, 0,18 %Si in 1,18 %Mn) pod izbranimi taljenimi in aglomeriranimi praškoma

Varilni prašek	I (A)	U (V)	uvar (%)	η (%)	v <sub>T</sub> (g <sub>s</sub> )	P <sub>ZL</sub> (g <sub>ZL</sub> / g <sub>V</sub> )
EP10	450	35	60	98	2,1	1,0
	650	35	70	98	3,4	0,9
EP50	450	35	60	97	2,1	1,0
	650	35	70	97	3,4	0,9
100SM	450	35	60	97	1,6	0,9
	650	35	70	97	2,4	0,8
	650	45	50	97	2,6	1,2
BM2	450	35	50	189	3,4	0,8
	650	35	60	120	4,0	0,6
	650	45	40	158	4,3	1,0

Legenda oznak:

I - jakost varilnega toka

U - varilna napetost

uvar - delež raztaljenega osnovnega materiala v celotnem varu

v<sub>T</sub> - produktivnostP<sub>ZL</sub> - pokrivanje varja z varilno žlindro**Tabela 5:** Kemične sestave čistih varov pri varjenju z žico EPP2 pod izbranimi taljenimi in aglomeriranimi varilnimi praški

Varilni prašek	I (A)	U (V)	C (%)	Si (%)	Mn (%)	Cr (%)	V (%)	Mo (%)	W (%)
EP10	450	35	0,04	0,36	1,45	-	-	-	-
EP50	450	35	0,06	0,68	0,67	-	-	-	-
100SM	450	35	0,06	0,80	0,70	-	-	-	-
BM2	450	35	1,58	0,42	0,12	9,22	3,26	10,88	12,08
"	650	35	0,75	0,28	0,08	5,65	1,88	6,18	6,93
"	650	45	0,93	0,23	0,13	6,12	1,98	7,27	8,28

**Tabela 6:** Kemične sestave varilnih žlinder pri varjenju z žico EPP2 pod izbranimi taljenimi in aglomeriranimi varilnimi praški

Varilni pašek	I (A)	U (V)	SiO <sub>2</sub> (%)	FeO (%)	MnO (%)	Cr <sub>2</sub> O <sub>3</sub> (%)	- V <sub>2</sub> O <sub>3</sub> (%)	MoO <sub>2</sub> (%)	WO <sub>2</sub> (%)
EP10	450	35	37,20	4,83	29,59	-	-	-	-
EP50	450	35	47,20	3,01	4,33	-	-	-	-
100SM	450	35	18,90	3,05	2,23	-	-	-	-
BM2	450	35	28,00	5,84	0,56	4,74	2,19	3,40	3,21
"	650	35	26,80	7,36	0,84	5,53	2,50	4,59	4,03
"	650	45	29,00	6,86	0,72	5,20	2,40	3,39	3,16

**Tabela 7:** Izračunana razmerja, oz. količine raztaljene varilne žice, varilnega praška, nastale varilne žlindre in navara, ocena prigora in odgorevanja posameznih elementov ter vrednosti za vezani kisik, ki karakterizira intenzivnost oksidacijsko reduksijskih procesov, za varjenja pod izbranimi varilnimi praški in pri različnih varilnih pogojih za prašek BM2 (tabela 4)

Varilni prašek	EP10	EP50	100SM	BM2	BM2	BM2
Parametri varj.	450A,35V	450A,35V	450A,35V	450A,35V	650A,35V	650A,45V
P <sub>z</sub> (g <sub>z</sub> / g <sub>v</sub> )	1.0	1.0	0.9	0.8	0.6	1.0
G <sub>z</sub> (g)	1.0	1.0	1.0	1.0	1.0	1.0
G <sub>pr</sub> (g)	0.927	0.952	0.869	2.68	1.22	2.04
G <sub>z</sub> (g)	0.967	0.950	0.877	1.65	0.85	1.57
G <sub>n</sub> (g)	0.967	0.950	0.975	2.06	1.41	1.57
G <sub>C</sub> / G <sub>n</sub>	-0.0007	-0.0005	-0.0005	-0.0003	-0.0036	-0.0070
G <sub>Si</sub> / G <sub>n</sub>	+0.0028	+0.0053	+0.0037	+0.0047	+0.0015	+0.0011
G <sub>Mn</sub> / G <sub>n</sub>	+0.0019	-0.0336	-0.0194	-0.0045	-0.0076	-0.0062
G <sub>Cr</sub> / G <sub>n</sub>				-0.0132	-0.0135	-0.0440
G <sub>V</sub> / G <sub>n</sub>				-0.0117	-0.0106	-0.0243
G <sub>Mo</sub> / G <sub>n</sub>				-0.0070	-0.0151	-0.0429
G <sub>W</sub> / G <sub>n</sub>				-0.0119	-0.0189	-0.0497
G <sub>Fe</sub> / G <sub>n</sub>	-0.0375	-0.0234	-0.0151	-0.0333	-0.0299	-0.0462
G <sub>O<sub>2</sub></sub> / G <sub>n</sub>	0.0087	0.0113	0.0155	0.0234	0.0334	0.0806
				(0.0288)	(0.0356)	(0.0594)

Legenda oznak:

P<sub>z</sub> - pokrivanje vara z žlindroG<sub>z</sub>, G<sub>pr</sub>, G<sub>z</sub> in G<sub>n</sub> - teže žice, praška, žlindre in navara - izračunane na G<sub>z</sub> = 1 g.G<sub>C</sub> / G<sub>n</sub>, G<sub>Si</sub> / G<sub>n</sub>, G<sub>Mn</sub> / G<sub>n</sub>, G<sub>Cr</sub> / G<sub>n</sub>, G<sub>V</sub> / G<sub>n</sub>, G<sub>Mo</sub> / G<sub>n</sub>, G<sub>W</sub> / G<sub>n</sub> in G<sub>Fe</sub> / G<sub>n</sub> - ocena prigora in odgora ogljika, silicija, mangana, kroma, vanadija, molibdena, wolframa in železa na težo navaraG<sub>O<sub>2</sub></sub> / G<sub>n</sub> - ocena količine kisika, ki sodeluje v oksidacijsko - reduksijskih procesih, na težo navara

*Opomba:* Osnova za podane vrednosti je bila sestava čistega vara, le odgor železa smo računali na osnovi vsebnosti FeO v varilni žlindri. V oklepaju podane vrednosti za količine kisika, ki ga vežemo pri oksidacijsko reduksijskih procesih, so tudi korigirane glede na analizirano sestavo varilne žlindre<sup>12</sup>.

Prigor in odgor dezoksidantov in legirnih elementov smo ugotavljali na osnovi materialne bilance vhodnih komponent (kemične sestave varilne žice EPP2 in varilnih praškov EP10, EP50, 100SM in BM2) ter izhodnih komponent (kemične sestave čistih navarov in varilnih žlinder). Rezultati izračunov so podani v tabeli 7.

Intenzivnost oksidacijsko reduksijskih procesov je pri navarjanju pod legiranimi aglomeriranimi praški bistveno višja kot pri varjenju pod taljenimi praški. Količina vezanega kisika, ki sodeluje pri oksidacijsko reduksijskih procesih, se

poveča; od 0,0087 g O<sub>2</sub>/g vara (EP10) preko 0,0155 g O<sub>2</sub>/g vara (SM100) na 0,0288 g O<sub>2</sub>/g vara (BM2).

Na intenzivnost odgorevanja legirnih elementov pa pri navarjanju pod legiranimi aglomeriranimi praški odločilno vplivajo tudi varilni parametri. Količina vezanega kisika, ki karakterizira intenzivnost oksidacijsko reduksijskih procesov, se z zvišanjem jakosti in varilne napetosti močno poveča: od 0,0288 g O<sub>2</sub>/g vara (450A, 35V), preko 0,0356 g O<sub>2</sub>/g vara (650A, 35V) na 0,0594 g O<sub>2</sub>/g vara (650A, 45V).

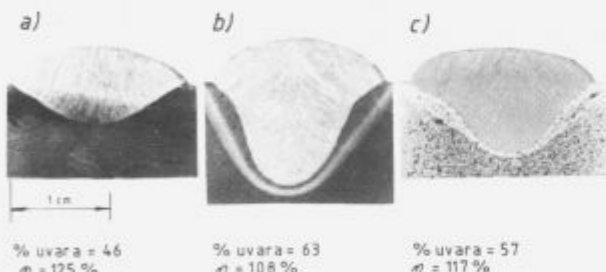
**Tabela 8:** Kemične sestave enoslojnih navarov z žico EPP2,  $\phi 3\text{mm}$  pod legiranimi aglomeriranimi praškoma 0-7 SM in BM2 na konstrukcijsko jeklo (0,17 % C, 0,24 % Si in 0,65 % Mn)

Varilni prašek (A)	I (A)	U (V)	C (%)	Si (%)	Mn (%)	Cr (%)	V (%)	Mo (%)	W (%)
0-7 SM	450	40	0,11	0,27	0,84	5,34	-	-	-
	650	35	0,10	0,25	0,63	2,37	-	-	-
	650	45	0,10	0,30	0,71	3,79	-	-	-
BM 2	450	40	0,86	0,22	0,34	5,47	2,60	6,16	6,73
	650	35	0,44	0,25	0,44	2,31	0,92	2,28	2,64
	650	45	0,64	0,30	0,38	3,80	1,73	4,30	4,75

### 3 Enoslojno navarjanje na konstrukcijska jekla

Enoslojno navarjanje konstrukcijskih jekel je posebno zanimivo za proizvajalce najrazličnejših orodij in strojnih elementov, ki se med obratovanjem obrabljujo. Celoten enoslojni navar je enake sestave ter ima tudi enako odpornost proti obrabi. To omogoča, da legirne elemente v navaru izrabimo maximalno. Kvalitetne in pravilno legirane navare pa bomo dobili le, če bomo upoštevali tudi razredčenje čistega vara zaradi taljenja osnovnega materiala.

Taljenje osnovnega materiala (% uvara) in vpliv razredčenja čistega vara na sestavo enoslojnega navara je za varjenja z žico EPP2 pod praškoma 0-7 SM (17 % kovin v prašku) in BM2 (47 % kovin v prašku) prikazano v odvisnosti od varilnih parametrov na **slikah 2 in 3** ter v **tabeli 8**.



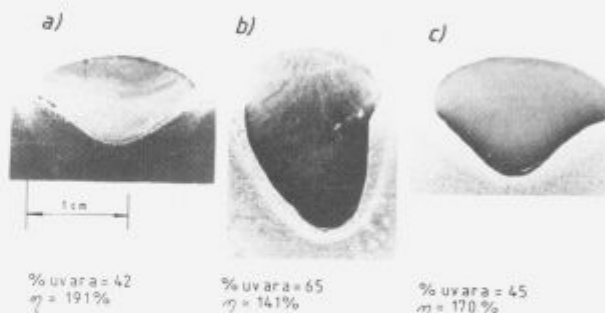
**Slika 2:** Izgled presekov enoslojnih navarov pri navarjanju z žico "EPP2" pod praškom "0-7 SM"

a) I = 450A, U = 40V b) I = 650A, U = 35V c) I = 650A, U = 45V

**Figure 2:** Appearance of one - layer building - up sections in submerged arc surfacing with wire "EPP2" and flux "0-7 SM"

a) I = 450A, U = 40V b) I = 650A, U = 35V c) I = 650A, U = 45V

pisano tehnologijo - izbiro varilnih parametrov in temperaturo predgrevanja<sup>11</sup>.



**Slika 3:** Izgled presekov enoslojnih navarov pri navarjanju z žico "EPP2" pod praškom "BM2"

a) I = 450A, U = 40V b) I = 650A, U = 35V c) I = 650A, U = 45V

**Figure 3:** Appearance of one - layer building - up sections in submerged arc surfacing with wire "EPP2" and flux "0-7 SM"

a) I = 450A, U = 40V b) I = 650A, U = 35V c) I = 650A, U = 45V

Z legiranimi aglomeriranimi varilnimi praški je priporočljivo navarjati z nizko izbranimi varilnimi parametri (posebno z nizko jakostjo varilnega toka; žica EPP2,  $\phi 3\text{mm}$  - 450A in 40V), kar zagotavlja, da je taljenje osnovnega materiala pod 50 %.

Nizke jakosti varilnega toka na varilno žico pri razmeroma visoki varilni napetosti so značilne za postopek varjenja z večjično elektrodo. Navarjanje pod legiranimi aglomeriranimi praški po postopku varjenja z večjično elektrodo je perspektiva platiranja cenениh konstrukcijskih jekel z močno legiranimi korozionsko in abrazijsko odpornimi prevlekami.

### 4 Zaključek

Za navarjanje pod legiranimi aglomeriranimi praški je zelo pomembno, da strogo spoštujemo predpisano tehnologijo - izbiro varilnih parametrov, ki odločilno vpliva tako na izkoristek varjenja, kot tudi na taljenje osnovne (% uvara). Le pravilno razmerje med količino odtaljene varilne žice in količino raztaljenih kovin, ki preko legiranega varilnega pra-

Zaradi taljenja osnove pride do močnega razredčenja čistega vara (primerjaj tabeli 5 in 8; navarjanje pod praškom BM2). Z legiranjem navara preko legiranega varilnega praška uspemo razmeroma enostavno dolegirati enoslojni navar do ustrezne kemične sestave le, če pri navarjanju strogo upoštevamo pred-

ška legirajo navar, nam ob kontroliranem taljenju osnovnega materiala zagotavlja, da bomo dobili na konstrukcijskem jeklu močno legirano korozjsko ali abrazijsko odporno prevleko izbrane sestve in kvalitete.

Z legiranimi aglomeriranimi varilnimi praški je priporočljivo navarjati z nizko jakostjo varilnega toka (žico EPP2,  $\phi$  3 mm - 450A), kar zagotavlja minimalno taljenje osnove (uvar pod 50 %) in minimalno odgorevanje legirnih elementov. Taka nastavitev varilnih parametrov (nizka jakost toka na žico pri razmeroma visoki varilni napetosti) je značilna za varjenje pod paškom z veččično elektrodo, zato je omenjeni postopek zelo primeren za enoslojno platiranje konstrukcijskih jekel z močno legiranimi prevlekami.

## 5 Literatura

- <sup>1</sup> R. Kejžar, Hardfacing by Submerged Arc Welding. Proceedings of the 2nd International Conference on Tooling "Neue Werkstoffe und Verfahren für Werkzeuge", Bochum, 1989, 301/314.
- <sup>2</sup> Weld Surfacing and Hardfacing. The Welding Institute, Abington, 1980
- <sup>3</sup> A. Diebold: Verschleiss- und Korrosionsminderung. Schweißtechnik, Wien 32 (1978) 7, 129/133.
- <sup>4</sup> R. Kejžar: Refinement of Working Surfaces by Submerged Arc Hardfacing. Proceedings of the International Conference on the Joining of Materials, JOM 5, Helsingør, 1991, 117/126.
- <sup>5</sup> R. Kejžar: Navarjanje močno legiranih nanosov na konstrukcijska jekla. Varilna tehnika, Ljubljana 41(1992)4, 96/101.
- <sup>6</sup> R. Kejžar: Legirani aglomerirani praški za posebna navarjanja. Rudarsko-metalurki zbornik, Ljubljana 38(1991)2, 275/290.
- <sup>7</sup> R. Kejžar: New Prospectives of Cladding by Submerged Arc Building-up. Proceedings of International Conference on Welding Technology in Developing Countries - Present Status and Future Needs, Roorkee, 1988.
- <sup>8</sup> R. Kejžar: Prednosti uporabe novih sintetičnih repromaterialov pri izdelavi dodajnih materialov za varjenje. Kovine, zlitine, tehnologije, Jesenice 27(1993)1-2, 213/216.
- <sup>9</sup> R. Kejžar: One-Layer Submerged Arc Surfacing of Highly Alloyed Claddings with Single and Multiple Electrodes and with Alloyed Agglomerated Powders. Proceedings of the International Conference on the Joining of Materials, JOM 6, Helsingør, 1993, 455/463.
- <sup>10</sup> R. Kejžar: Prigor in odgor elementov (silicija in mangana) pri varjenju pod praškom EP 10 in EP 50. Železarski Zbornik, Jesenice 9(1975)1, 11/17.
- <sup>11</sup> R. Kejžar: Some Results Referring to Alloying of Submerged Arc Surfacings in Multiple Electrode Welding. IIW Doc. 212-813-92.
- <sup>12</sup> R. Kejžar: Alloying Processes in Submerged Arc Surfacing with Alloyed Agglomerated Fluxes. IIW Doc. 212-844-93